

**Институт геологии и нефтегазового дела им. К.
Турысова**

**GEO214 ГЕОФИЗИЧЕСКИЕ ИССЛЕДОВАНИЯ СКВАЖИН
(ПРОДВИНУТЫЙ)**

7– лекция

**Интерпретация диаграмм гамма-метода. Правила определения
границ пластов, изучение разрезов скважин, учёт скважинных
условий и порядок обработки данных гамма-метода при
определении глинистости пластов**

**Д.т.н., профессор
Ратов Боранбай Товбасарович**

Гамма – метод (ГМ)

- Заключается в регистрации изменения интенсивности **естественного гамма-излучения** пород I_γ в скважине.
- Работы проводят с помощью **скважинных радиометров**.
Регистрируются электрические сигналы, пропорциональные интенсивности гамма-излучения.
- Записывается диаграмма, интенсивности гамма-излучения I_γ .
- Величина I_γ измеряется в импульсах за минуту или в микрорентгенах в час (гаммах).

Гамма – метод (ГМ)

Радиус исследования

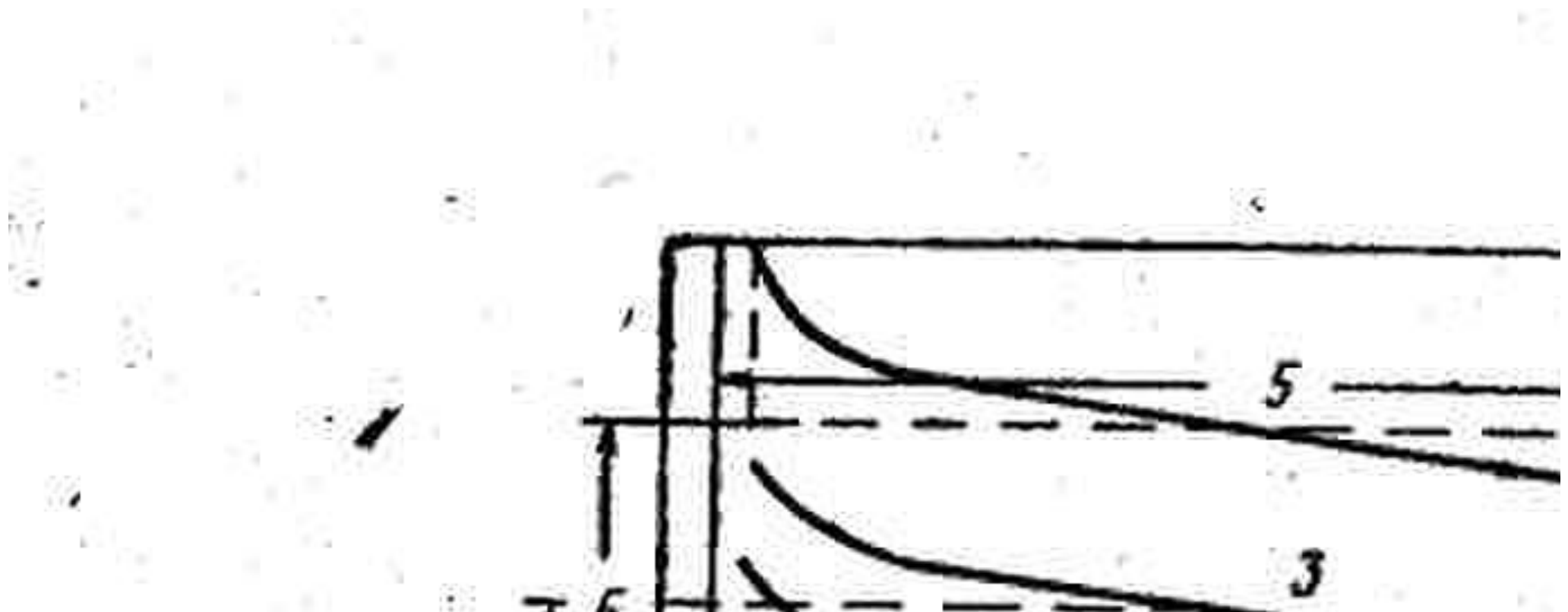
- Интенсивность гамма-излучения колеблется около среднего уровня, испытывая статистические флюктуации. Для их учета применяются повторные записи с меньшей скоростью проведения наблюдений.
- Гамма-лучи почти полностью поглощаются слоем породы толщиной 1 - 2 м, а до 30 % ядерной энергии не пропускается обсадными трубами, поэтому фиксируется гамма-излучение пород, расположенных в радиусе, не превышающем 0,5 м от оси скважины.
- Еще больше снижают радиус исследования увеличение диаметра скважины и наличие воды или бурового раствора в ней.

Гамма – метод (ГМ)

Решаемые задачи

- На диаграммах **гамма-каротажа** выявляются пласти с разной степенью радиоактивности **естественных радиоактивных элементов (ЕРЭ)**.
- **Максимумами** выделяются породы и руды, содержащие уран, радий, торий, калий-40 и другие радиоактивные элементы, а также граниты, глины;
- **Минимумами** - песчаные и карбонатные породы

Теоретические и практические кривые ГМ



- а — теоретические кривые ГМ в скважине при различной мощности пластов (шифр кривых — h в м);
- б — практические кривые ГМ при τ_{\max} и τ_{\min}

Форма кривых ГК. Количественная интерпретация данных

- Теоретические кривые интенсивности I_γ гамма-излучения для одиночного пласта мощностью h с повышенной гамма-активностью $q_{\gamma p}$, залегающего в породах с активностью $q_{\gamma VM}$ ($q_{\gamma p} > q_{\gamma VM}$), в скважине диаметром d_c , заполненной неактивным буровым раствором.
- Принято, что **плотность и коэффициенты поглощения** всех сред постоянны. При перемещении индикатора с бесконечно малой скоростью вдоль оси скважины пласт **повышенной гамма-активности** выделяется **симметричной** аномалией
- **Границы пласта** выделяются по точкам **перегиба** кривой. Значение $I_{\gamma gr}$ определяется на расстоянии $1/2 \Delta I_\gamma$ от линии показаний $I_{\gamma VM}$ во вмещающих породах.
- При уменьшении **мощности пласта** величина **амплитуды** снижается и точки, соответствующие **границам**, смещаются к **вершине** аномалии.

Учет влияния окружающей среды, конструкции скважин на регистрируемую интенсивность

- Практические **кривые гамма-активности** отличаются от **теоретических кривых** наличием иззубренности кривой, из-за статистический флюктуаций и влияния инерционности регистрирующей аппаратуры, связанной с наличием в измерительном канале интегрирующей ячейки, которая характеризуется **постоянной времени $\tau = RC$** .
- **Постоянная времени τ** выбирается при записи диаграмм I_γ так, чтобы дорожка статистических флюктуаций была **наименьшей**, а **скорость регистрации - наибольшей**.
- Регистрация диаграммы ведется снизу вверх, аномалия за счет инерционности интегрирующей ячейки при большой скорости записи **V** либо при большом значении **τ** медленно нарастает против подошвы пласта высокой активности и медленно спадает выше его кровли.
- Аномалия становится асимметричной, максимум смещается вверх, располагаясь на уровне кровли пласта. Чем выше **$V\tau$** , тем больше понижается ΔI_γ по сравнению с $\Delta I_{\gamma\infty}$ и увеличивается ширина аномалии h_ϕ по сравнению с истинной мощностью h_ϕ пласта.
- Степень снижения ΔI_γ по сравнению с $\Delta I_{\gamma\infty}$ характеризуется коэффициентом $v_\gamma = \Delta I_\gamma / \Delta I_{\gamma\infty}$

Кривые гамма-метода

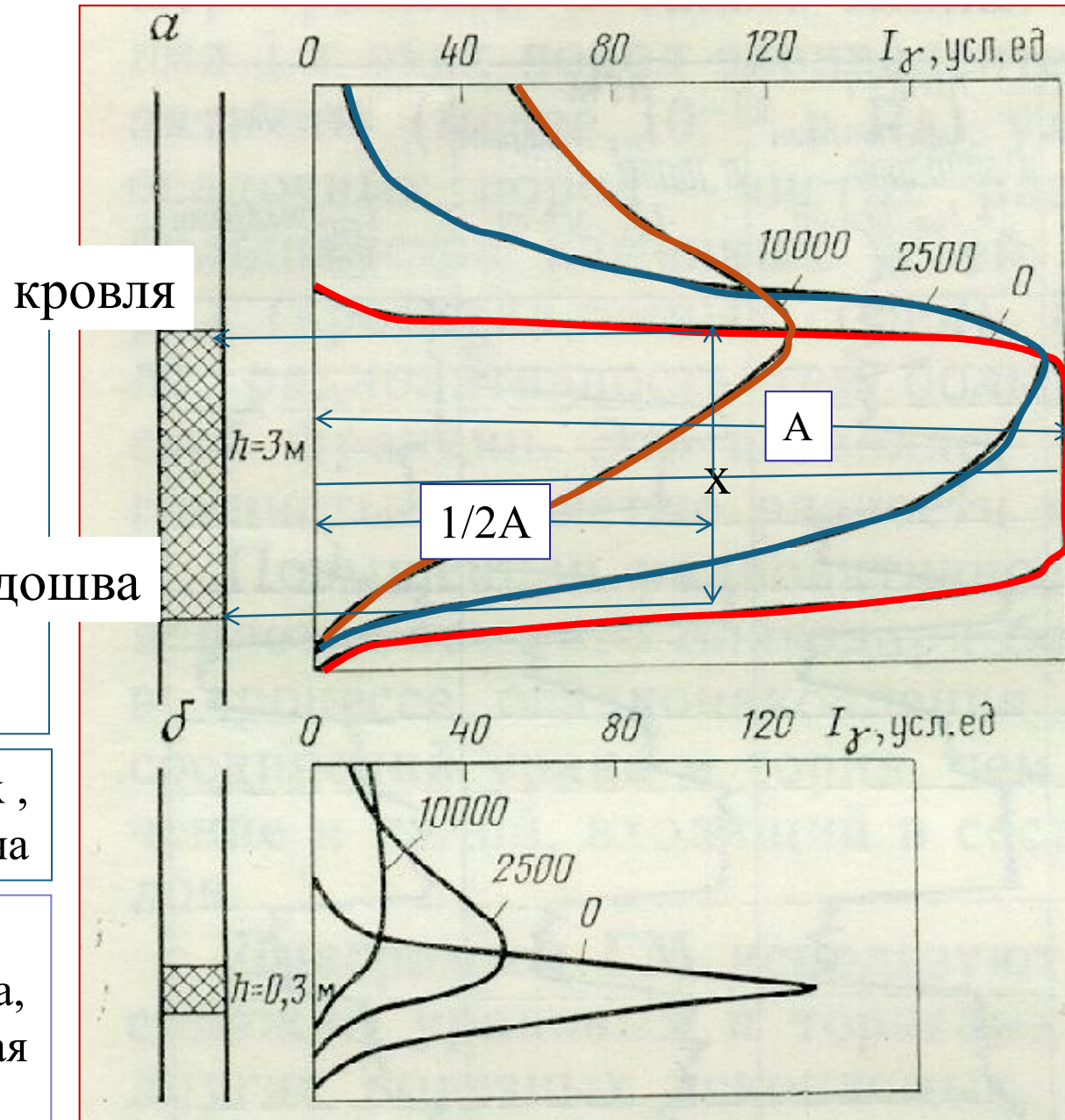
Кривые I_γ против пластов большой (**a**) и малой (**б**) мощности.

Шифр кривых $-v \cdot \tau$, м/ч \cdot с

Измерение на отдельных точках ,
(при $v \cdot \tau \rightarrow 0$) кривая симметрична

При $v \cdot \tau \neq 0$ кривая сдвигается по
направлению движения прибора,
амплитуда уменьшается и кривая
становится асимметричной

При мощности пласта > 1 м граница
определяется по правилу $\frac{1}{2} A_{\max}$



При малой мощности пласта
амплитуда уменьшается тем сильнее,
чем меньше значение $h / v \cdot \tau$

Зависимость формы аномалии ГК от скорости движения зонда

- При выполнении ГК важным моментом является соблюдение оптимальной скорости движения скважинного снаряда.
- Все радиометры обладают определенной постоянной времени интегрирующейся ячейки и скорость каротажа должна быть такой, чтобы при движении детектора против пласта минимальной интересующей исследователя мощности h показания радиометра успели достичь максимальных значений $/^{\text{TM}}$.
- При более высокой скорости, аномалия ГК получается меньшей интенсивности и растянутой по глубине.
- Оптимальную скорость каротажа вычисляют, исходя из мощности пластов h в метрах и постоянной времени $\tau_{\text{я}}$ в секундах по формуле.
- В общем случае скорость ГК не должна превышать 360-400 м/час.

Зависимость формы аномалии от скорости движения зонда

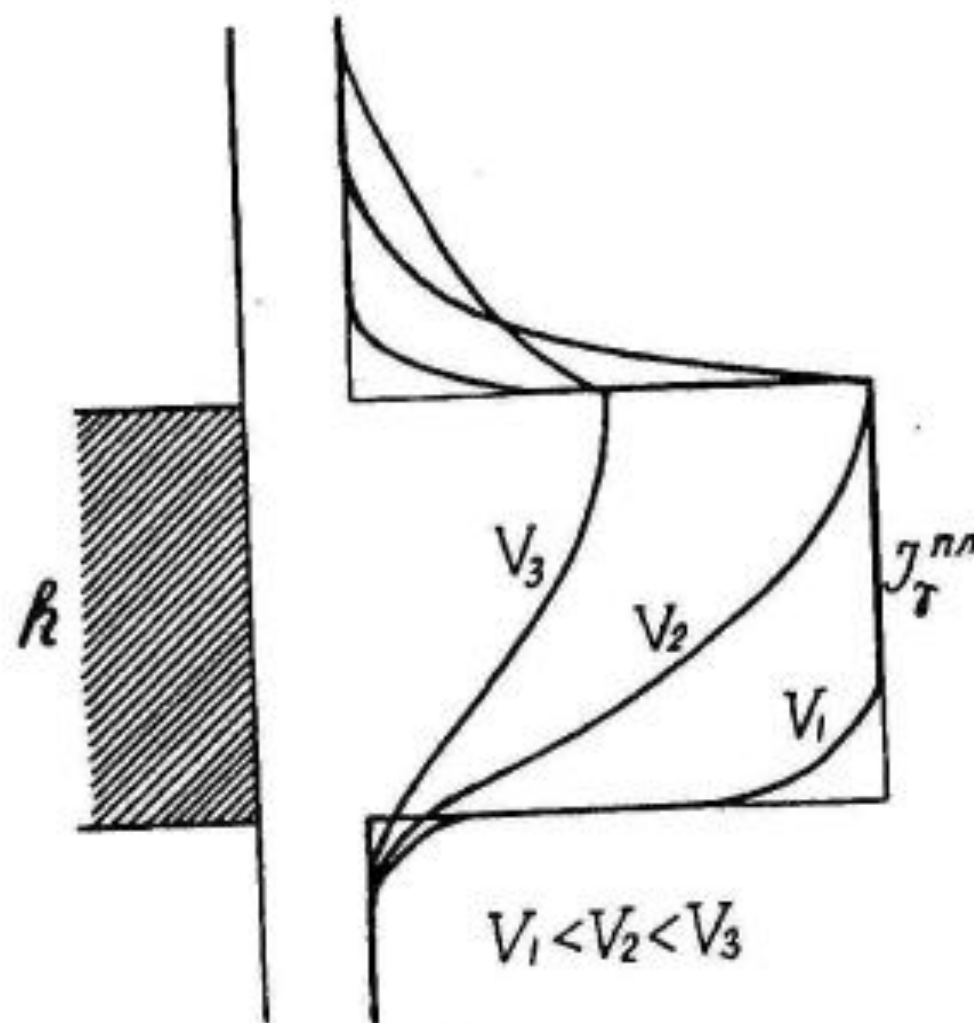
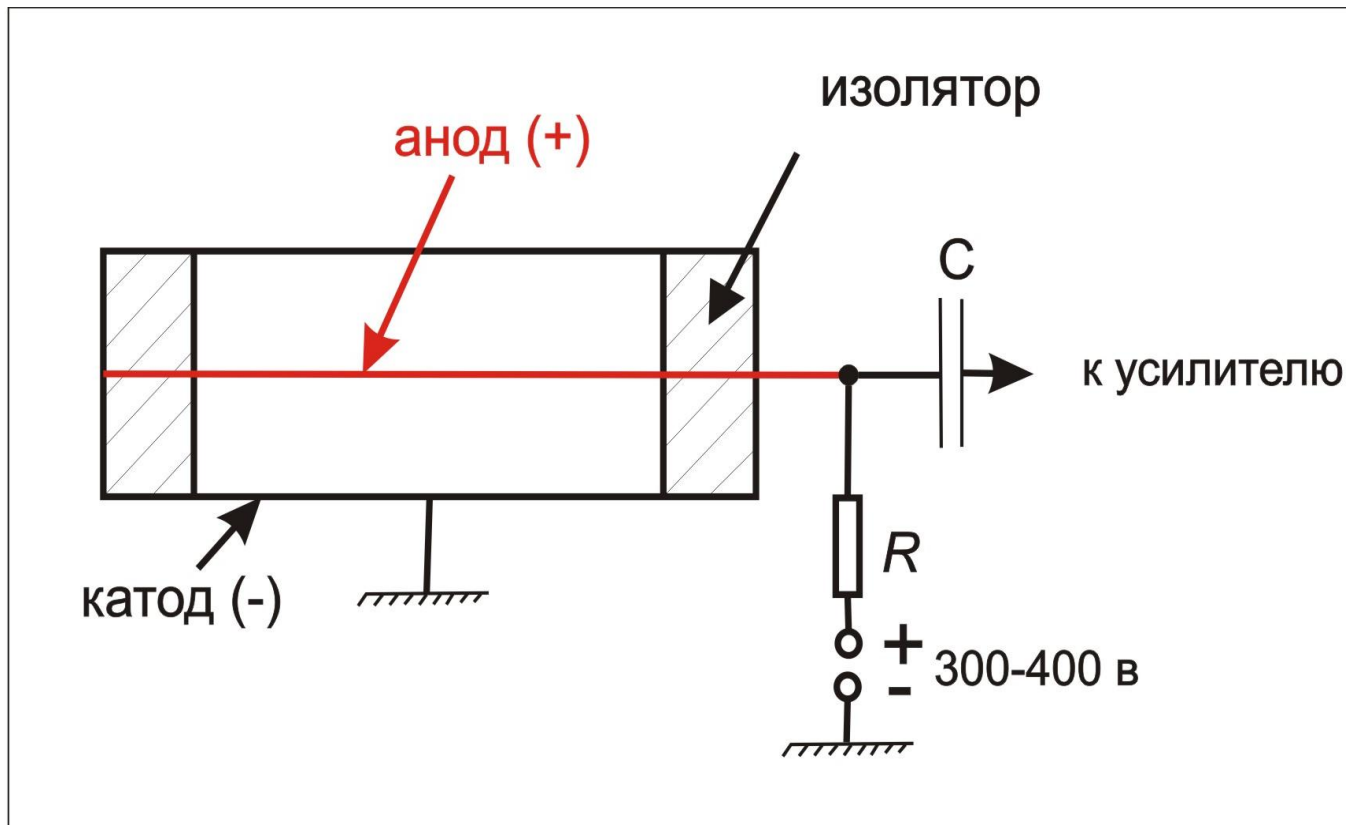


Рис. 12.1. Зависимость конфигурации аномалии гамма-каротажа над пластом повышенной радиоактивности от скорости каротажа

Гамма-метод (ГК). Аппаратура измерения гамма-излучения

Газоразрядный счетчик (Гейгера-Мюллера),
(непропорциональные Еγ, регистрируют 1 -2 % γ-квантов)



$$\tau = C * R$$

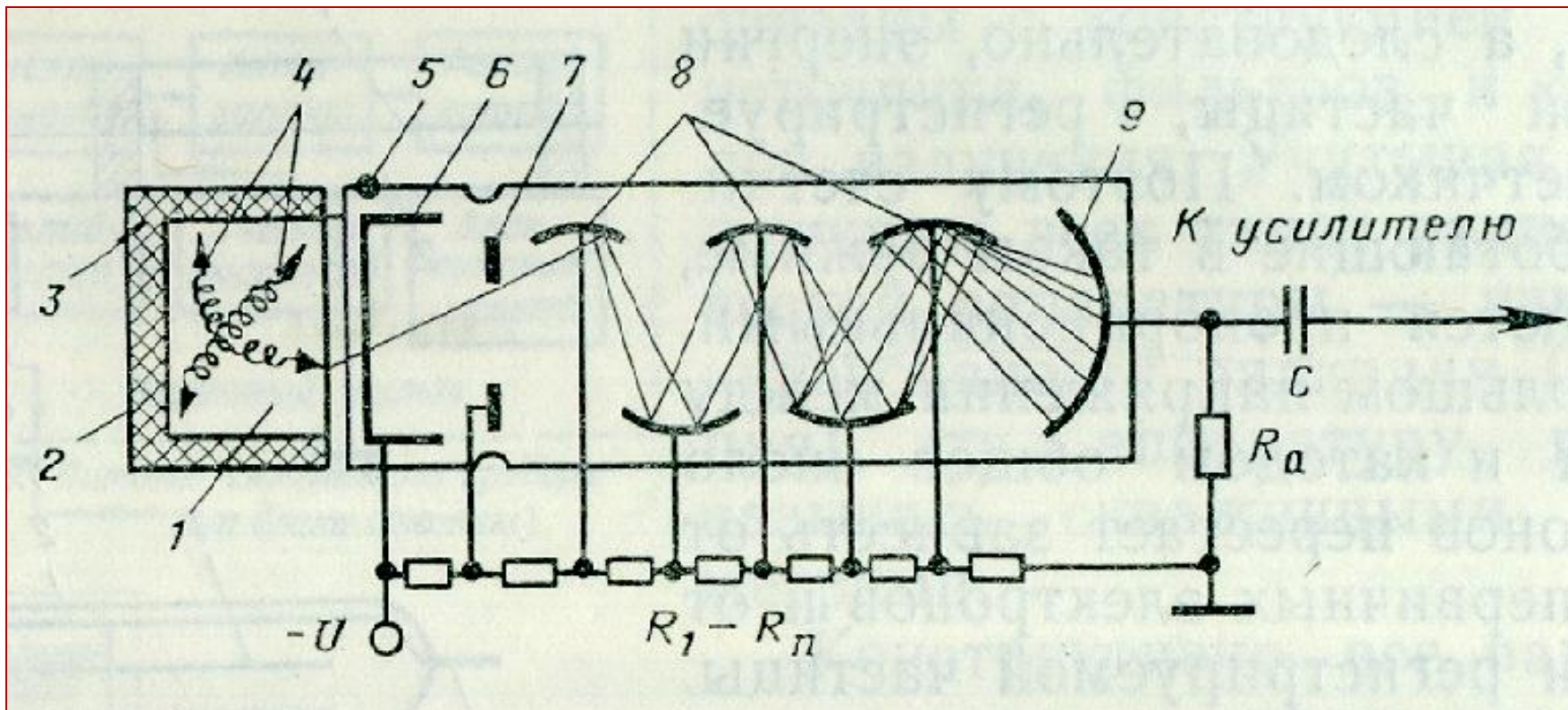
τ – постоянная времени
интегрирующей ячейки, (с)

R - сопротивление
C - конденсатор

Аппаратура измерения гамма-излучения:

Сцинтиляционный счетчик

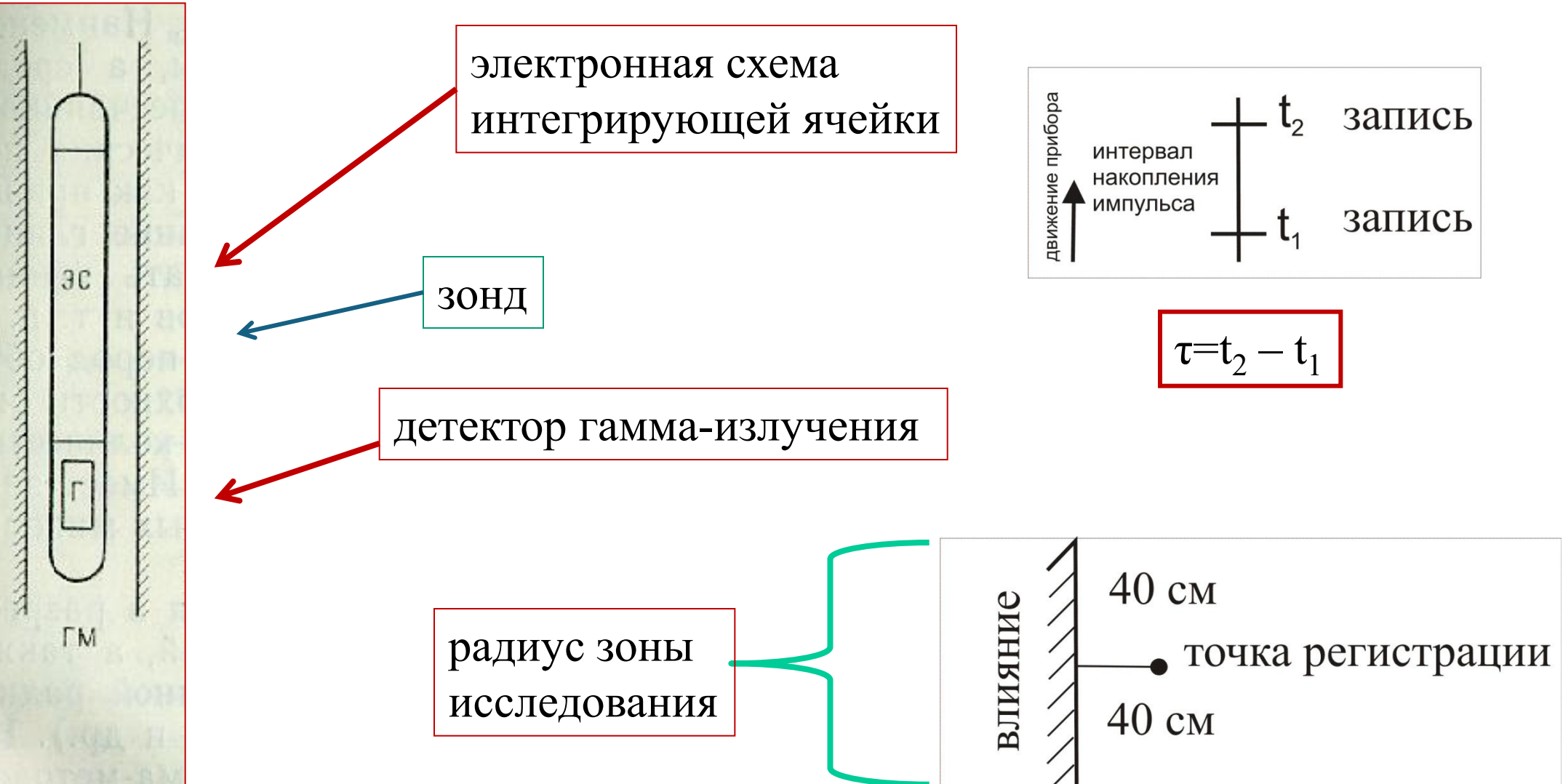
(пропорциональные $E\gamma$, регистрируют до 30% γ -квантов)



Постоянная времени интегрирующей ячейки:

$\tau = C * R$ - время накопления разрядов (сигнала) – дискретность записи диаграммы

Скважинные приборы радиоактивных методов



Выбор параметров регистрации

При измерениях рекомендуется:

- Время стояния прибора против пласта –
 $\tau = 3\text{-}6$ сек
- Скорость подъема прибора-
 $V = 500\text{-}600$ м/ч –при исследованиях вдоль всего ствола;
 $V = 100\text{-}200$ м/ч- при детальных исследованиях
-

Диаграммы радиоактивных методов (ГК)



Обработка и интерпретация диаграмм ГМ

1. Литологическое расчленение разреза
2. Снятие значений гамма-активности
3. Приведение к условиям пласта бесконечной мощности
4. Выбор опорных пластов
5. Расчет двойного разностного параметра
6. Определение $K_{\text{гл.}}$.
7. Определение литологии пласта

Литологическое расчленение разреза

- Качественная интерпретация диаграмм ГК заключается в **литологическом расчленении разреза**, которое основано на различии горных пород по их радиоактивности.
- В общем случае однозначное определение пород по одним лишь диаграммам ГК невозможно и решать эту задачу следует при комплексном использовании диаграмм всех видов каротажа (КС, ПС, НТК, АК и др.).
- Наиболее эффективен ГК при поисках и разведке руд **ЕРЭ**, например, урановых руд или калийных солей.

Определение литологии пласта

Nп/п	Кгл	Литология
1	0 – 0,1	Крупнозернистый песчаник (К3П)
2	0,1 – 0,2	Среднезернистый песчаник (С3П)
3	0,2 – 0,3	Мелкозернистый песчаник (М3П)
4	0,3- 0,4	Тонкозернистый песчаник (Т3П)
5	0,4 – 0,5	Крупнозернистый алевролит (К3А)
6	0,5 – 0,6	Среднезернистый алевролит (С3А)
7	0,6- 0,7	Мелкозернисты алевролит (М3А)
8	0,7 – 0,8	Тонкозернистый алевролит (Т3А)
	больше 0,8	Аргилллит

Количественная интерпретация диаграмм ГК

- При **количественной интерпретации диаграмм ГК** получают исходные данные для подсчета запасов радиоактивных руд.
- **Количественная интерпретация диаграмм ГК** основывается на зависимости площади аномалии **S** от мощности радиоактивного интервала **h** и содержания в нем радиоактивного элемента **q**, выражаемой уравнением:

$$S = K_o \cdot q \cdot h,$$

где **K_o** - коэффициент пропорциональности, определяющий интенсивность гамма-излучения пласта насыщенной мощности при единичном содержании в нем радиоактивного элемента.

- Величину **K_o** определяют экспериментально по измерениям на моделях пластов с известным содержанием радионуклида.

Например, для урановых руд гидрогенного типа и счетчика МС-13 $K_o=115$ мкР/час на 0,01% **U**.

Расчет площади аномалии

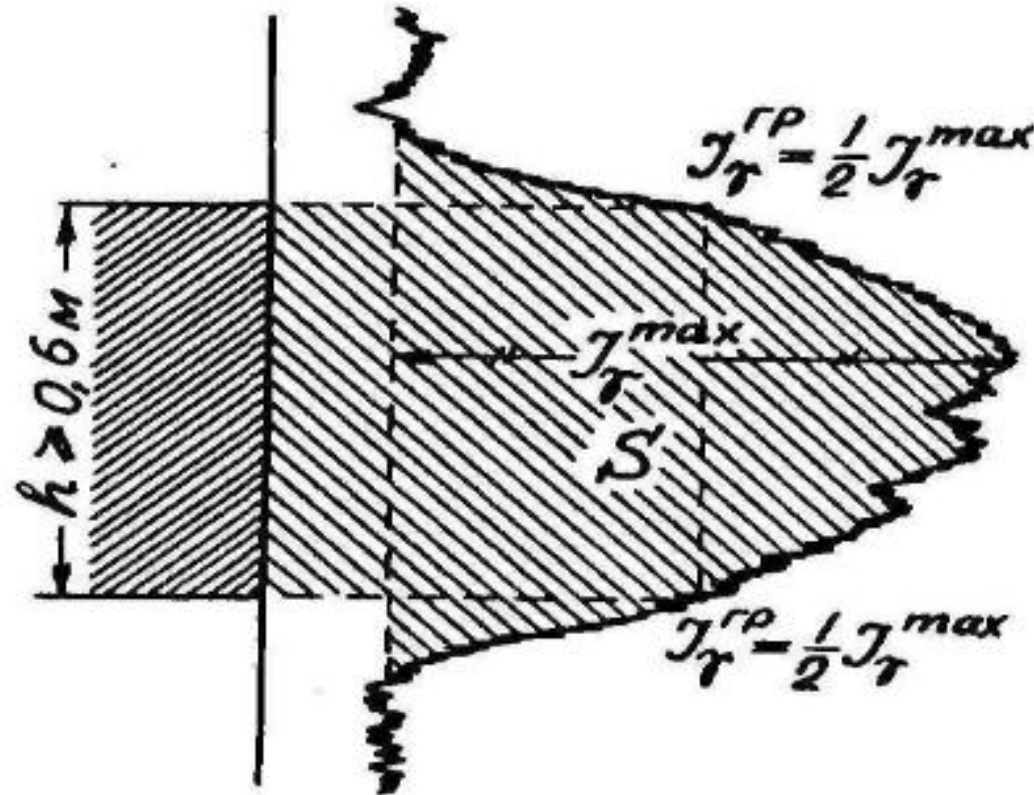


Рис. 12.2. Определение контактов пласта большой мощности и расчет площади аномалии по диаграмме ГК

Определение мощности

- Для определения **мощности** рудного интервала используют способ $1/2 I_{\gamma}^{\max}$, $4/5 I_{\gamma}^{\max}$ заданной интенсивности и др.
- Выбор способа зависит от мощности рудного подсечения, равномерности оруденения и некоторых других факторов.
- Способ $1/2 I_{\gamma}^{\max}$, применяют при условии насыщенной по γ -излучению мощности рудных тел ($h \geq 0,6$ м) и при равномерном оруденении.
- Амплитуду аномалии I_{γ}^{\max} отсчитывают от уровня γ -фона вмещающих пород с учетом разности показаний над перекрывающими и подстилающими породами.
- Другие способы определения h рассматриваются в специальной литературе.

Определение содержания

- Определение содержания для всех видов аномалий производится по формуле:

$$q = \frac{S}{100 K_0 \cdot h}$$

- где h - мощность интервала, м.
- Значение площади S в см-мкР/час определяется по замкнутому контуру, ограниченному кривой ГК, осью глубин и контактами пласта.

Поправка на поглощение в буровом растворе и обсадных трубах

- При определении содержаний ЕРЭ необходимо учитывать, что какая-то часть γ -излучения поглощается в буровом растворе и обсадных трубах.
- Поправка на поглощение в буровом растворе $P_{бр}$ и обсадных трубах
- $P_{тр}$ определяется по номограмме, с 2 кривыми: одна - для раствора (воды), другая - для железа (обсадных труб).
- Исправленная площадь рассчитывается по формуле:

$$S_{испр} = \frac{S \cdot 10^4}{(100 - P_{бр}) \cdot (100 - P_{тр})}$$

где $P_{бр}$ и $P_{тр}$ - доли излучения в процентах, поглощенные, соответственно, буровым раствором и трубами.

Эти величины снимаются с номограммы по разности в диаметрах скважины и скважинного прибора ГК и по толщине обсадной трубы

Номограмма для определения поправки

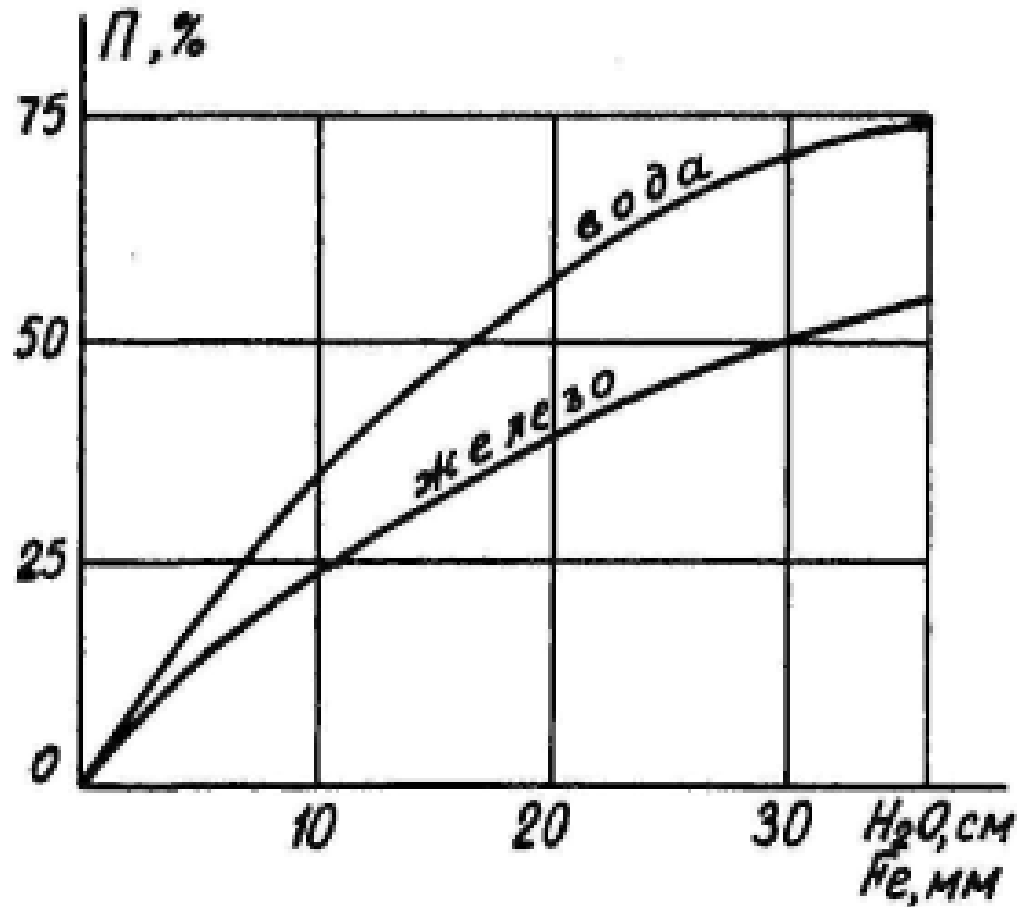


Рис. 12.3. Номограмма для определения поправки за поглощение гамма-излучения в воде и в обсадных трубах

Поправка на состояние радиоактивного равновесия

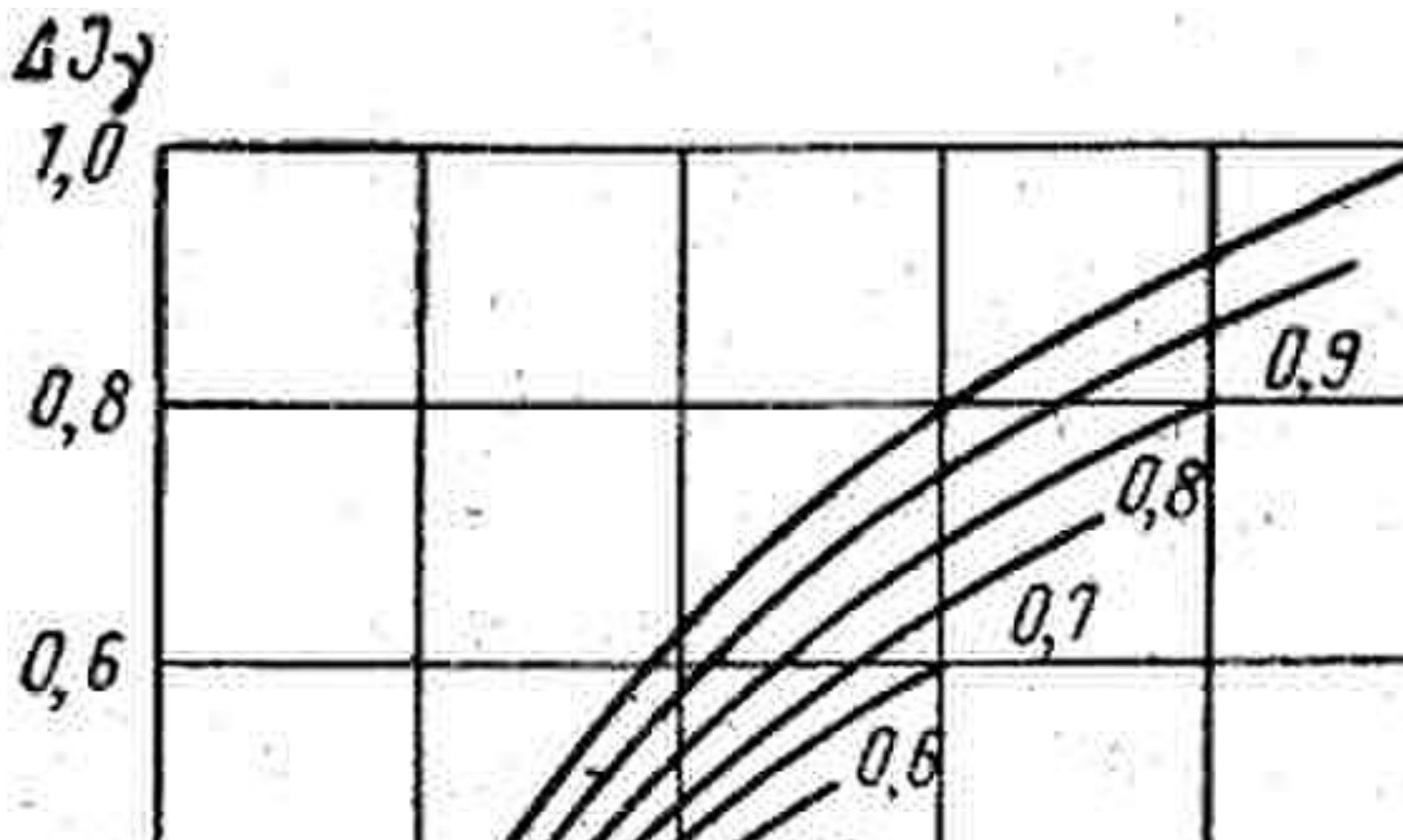
- При определении содержания U необходимо вводить еще поправку на состояние радиоактивного равновесия между **ураном и радием**, поскольку сам **уран** γ -квантов практически не дает, а все γ -излучение идет от **радия** и продуктов его распада.
- Состояние **радиоактивного равновесия** определяют по содержанию в руде **U и Ra** , которые находят по лабораторным анализам керна.
- В равновесной руде содержание **Ra** в $3,4 \cdot 10^4$ раз меньше, чем **U** . Соответственно, в неравновесной руде . с поправкой на состояние радиоактивного равновесия содержание **U** :

$$q_{исп} = \frac{q}{K_{pp}}$$

Определение глинистости коллектора

- В скважинах нефтяных и газовых месторождений определяют **глинистость коллекторов**. На номограмме одна линия соответствует глинам, другая - чистым кварцевым пескам. Величина отклонения I_y от этих линий на исследуемом пласте линейно связана с глинистостью коллектора C_{gp} .
- где a и b - постоянные, $\lg C_{gp} = aI_y - b$, их определяют для каждого месторождения на основе лабораторного анализа керна.

Определение глинистости коллектора



Обобщенные зависимости $\Delta J_y = f(c_{\text{гл}})$ для осадочных пород
а — палеозойские отложения Предуралья; б — мезозойские и третичные
отложения южных районов . Шифр кривых — поправочный коэффициент К

Контрольные вопросы

1. Что такое естественная радиоактивность?
2. В чем заключается сущность гамма-каротажа?
3. Основное назначение гамма-метода?
4. Как влияют на показания I_{γ} радиоактивность раствора и диаметр в необсаженной скважине?
5. К чему приводит искажение диаграммы I_{γ} , вызванное влиянием обсадной колонны и цементного кольца?
6. Правила определения границ пластов по диаграммам ГК.
7. Какие Вам известны детекторы гамма-квантов?
8. Какие основные узлы входят в состав каротажных радиометров?
9. Почему ограничена скорость ГК?
10. Какой способ используют для определения границ пластов большой мощности по диаграммам ГК?
11. Как определяют по ГК содержание радиоактивных элементов?
12. Какие мешающие факторы учитывают при количественной интерпретации диаграмм ГК?